

РЕШЕНИЕ ДИФРАКЦИОННОЙ ЗАДАЧИ В БЛИЗИ КАСАНИЯ  
ДИФРАКЦИОННОЙ И ПАДАЮЩЕЙ ГРАВИТАЦИОННОЙ ВОЛН  
В ЛИНЕЙНОЙ ПОСТАНОВКЕ

Багдоев А.Г., Безиргенян Г.С.

Ա.Գ.Բագդոև, Գ.Ս.Բեզիրգենյան

Գծային դրվագով դիֆրակցիոն խնդրի լուծումը դիֆրակցիոն և ընկնող գրավիտացիոն ալիքների շոշափման կոնֆի շրջակայրում

Խնդրի լուծումը հանգում է  $h = h(x, y)$  փոփոխական խորություններում պահպանվող անսեղմանի հետուի ազար մակերևույթի  $\Pi = \Pi(t, x, y)$  գրգռման որոշմանը երևակավական խավարի և ընկնող ու գրավածկությունը պահպանվությունը: Ակրական պայմանները բարդ կիրառությունը և օգտագործելով «սաղր շրի» վարկածը և մասնաւոր մերժությունը, գրնչական է գծային իմպրու լուծումը սահմանային դիֆրակցիոն և գրավածկությունը այլուրի մեջ: Ձեփրային այլիք դեպքում դիմուրկված է սրբացնար դիֆրակցիայի խմելու: Ֆուց է բրուկան, որ այս դեպքում այլիք լայնություն և փուլը արքակայական և նորմանի ինվերտուրում:

Bagdoev A.G., Bezirgenian G.S.

The Solution of the Diffraction Problem the Near Tangency  
of Diffraction and Inciding Gravitation Waves in Linear Statement

Используя модифицированный метод Адамара, в линейной постановке с использованием гипотезы "мелкой воды" найдено возвышение  $\Pi = \Pi(t, x, y)$  свободной поверхности жидкости с переменной глубиной  $h = h(x, y)$  вблизи касания фронтов дифрагированной и распространяющейся волн. Показано, что в частном случае скачкообразной волны решение нестационарной задачи выражается через функцию  $arctg$ , что хорошо известно. В последнем случае, для получения из него решения стационарной задачи (которая является более типичной в явлении дифракции) к функции  $arctg$  применено преобразование Лапласа по времени. Определены амплитуда и фаза волны, которые выражаются через интегралы Френеля.

Проблема дифракции волн разной природы (гравитационных, акустических, электромагнитных) на телах (препятствиях) разной формы в разных средах является хорошо известной. Имеется многочисленная литература по дифракции электромагнитных, акустических, гравитационных волн на барьерах разной формы в разных средах. Совершенно ясно, что даже краткий обзор фундаментальных работ по методике решения этой проблемы неуместно приводить в статье по понятной причине. Вкратце остановимся на некоторых

из них, в которых предложены разные: аналитические, численные или комбинированные методы решения дифракционных задач.

Из аналитических методов следует отметить некоторые классические методы:

1) Метод Кирхгофа (интегральный метод), являющийся математическим обобщением принципа Гюйгенса-Френеля, основан на точной формуле Грина и описывает решение стационарной задачи дифракции в однородной среде при соответствующих краевых условиях, которые задаются приближенно [1-4] (в области тени их полагают равным нулю, а в освещенной части их принимают такими же, как при отсутствии барьера).

2) Метод Фурье - когда функция, описывающая поле, представляется в виде Фурье-разложения по одной из координат [5-7]. При применении этого метода обычно делается переход от декартовых координат к цилиндрическим (в случае угловых дифракционных областей) или к сферическим (в случае препятствий с гладкой криволинейной границей).

3) Метод Фурье - преобразование, пригодное для стационарных задач дифракции 2 в однородных средах.

Из локальных методов решения дифракционных задач в неоднородных средах, описывающих возмущенное поле в некоторой его части (например, полутени), следует отметить:

а) метод пограничного слоя, основоположниками которого являются Фок [8] и Леонтович [9]. Первоначально этот метод Фок сформулировал как принцип локального поля ([8], с.15-16);

б) метод Адамара для нестационарных дифракционных задач, который непосредственно использован в этой статье.

Суть метода пограничного слоя, который в дальнейшем был развит Бабичем и др. в работах [10, 11], состоит в нахождении главного члена асимптотического разложения решения стационарной задачи дифракции по обрат-

ным степеням  $\omega$ , при  $\omega \rightarrow \infty$   $\left( u = \sum_0^{\infty} u_s(M) e^{i\omega(M)} / (-i\omega)^{s+1} \right)$  в окрестности фронта волны, то есть в узком слое, имеющем порядок  $O\left(\omega^{-\frac{3}{2}}\right)$ .

Суть метода Адамара состоит в том, что решение в любой момент в любой точке [12, 13], расположенной вблизи границы возмущенной области, выражается через начальные условия и фундаментальное (элементарное) решение волнового уравнения.

Уместно отметить, что изучение окрестности касания произвольной волны с дифракционной на основании линейного уравнения второго порядка с переменными коэффициентами гиперболического типа методом Адамара, проведено в [14]. Обзор работ по решению дифракционных задач численными и комбинированными методами частично можно найти в [2, 7, 15]. Кстати, довольно краткий обзор работ по дифракции приведен в [3].

**1. Физическое описание задачи, основные предположения и математическая постановка.** Пусть одиночная слабая поверхностная гравитационная волна произвольной формы (например, уединенная волна, возбужденная различными причинами: мгновенным порывом ветра, подводным землетрясением или дрейфом) набегает на вертикальный тонкий жесткий полубесконечный барьер с заостренным краем, расположенный в морской или океанской прибрежной зоне. Считается, что в начальный момент  $t = 0$  волна, сталкиваясь с волнорезом, касается его заостренного края. Начало координат выберем на кромке препятствия, а за плоскость  $xOy$  примем невозмущенную поверхность жидкости. В рассматриваемой задаче возмущенное движение жидкости представляет собой колебательное движение частиц вокруг их невозмущенного состояния.

**Основные предположения мелкой воды [5, 7, 16] в линейной теории:**

а) амплитуда колебания частиц достаточно мала по сравнению с характерной глубиной жидкости ( $\eta_{\max}/h_i \ll 1$ );

б) вертикальные ускорения частиц достаточно малы ( $|dw/dt| \ll 1$ ), то есть их влиянием на распределение давления можно пренебречь;

в) глубина воды в прибрежной зоне достаточно мала по сравнению с длиной волны ( $h_i/\lambda \ll 1$ ,  $c = \sqrt{gh}$  - длинная волна), где  $h(x, y)$  - глубина воды в невозмущенном состоянии,  $h_i$  - характерная глубина воды у барьера,  $\lambda$  - длина волн,  $c$  - скорость распространения длинных гравитационных поверхностных волн в воде конечной глубины, а  $\eta_{\max}$  - максимальное отклонение свободной поверхности жидкости от ее невозмущенного состояния. На основании предположений а) и б) возмущенное движение несжимаемой весомой идеальной жидкости под воздействием силы тяжести описывается системой линейных уравнений движения и неразрывности

$$\frac{\partial u}{\partial t} = -\frac{1}{\rho} \frac{\partial p}{\partial x}, \quad \frac{\partial v}{\partial t} = -\frac{1}{\rho} \frac{\partial p}{\partial y}, \quad -g - \frac{1}{\rho} \frac{\partial p}{\partial z} = 0 \quad (1.1, \text{a-v})$$

$$\frac{\partial u}{\partial x} + \frac{\partial v}{\partial y} + \frac{\partial w}{\partial z} = 0 \quad (1.2)$$

Границные условия на дне (моря или океана) и на свободной поверхности запишутся соответственно в форме

$$v_n = 0 \text{ при } z = -h(x, y), \quad w|_{z=\eta} = \frac{d\eta}{dt} = \frac{\partial \eta}{\partial t} \text{ при } z = \eta \quad (1.3, \text{a-б})$$

Для полной формулировки задачи (с математической точки зрения) необходимо еще записать начальные условия. Но предварительно покажем, что система уравнений (1.1а-в), (1.2) при граничных условиях (1.3а-б) можно свести к волновому уравнению вблизи фронтов волн.

Расшифруем граничное условие (1.3а). Обозначим через  $n_0$  единичный вектор нормали ко дну. Тогда

$$\mathbf{n}_0 = \frac{\nabla(z+h(x,y))}{|\nabla(z+h(x,y))|} = \frac{\partial h/\partial x \vec{i} + \partial h/\partial y \vec{j} + \vec{k}}{|\nabla(z+h(x,y))|}, \quad \mathbf{v}_n = (u, v, w)(\mathbf{n}_{0x}, \mathbf{n}_{0y}, \mathbf{n}_{0z})$$

Следовательно,

$$w|_{z=-h} = -\left( u \frac{\partial h}{\partial x} + v \frac{\partial h}{\partial y} \right) \quad (1.4)$$

Интегрируя уравнение (1.1в) по  $z$  в пределах от  $z$  до  $\eta$ , получим гидростатический закон распределения давления:  $p = p_a + \rho g(\eta - z)$ . Подстановка последнего выражения в первые два уравнения движения дает

$$\frac{du}{dt} = -g \frac{\partial \eta}{\partial x}, \quad \frac{dv}{dt} = -g \frac{\partial \eta}{\partial y} \quad (1.5, a-6)$$

Как видно из (1.5), продольные и поперечные компоненты ускорения частиц не зависят от апликаты  $z$ . С учетом этого факта проинтегрируем уравнение неразрывности по  $z$  в пределах от  $-h$  до  $\eta$ . Тогда с учетом граничных условий (1.3б) и (1.4) и предположения а) получим

$$\frac{\partial \eta}{\partial t} + \frac{\partial(hu)}{\partial x} + \frac{\partial(hv)}{\partial y} = 0 \quad (1.6)$$

Умножив уравнения (1.5) на  $h$ , затем продифференцировав соответственно по  $x$  и  $y$ , и сложив, с учетом последнего выражения, легко установить, что

$$\frac{\partial^2 \eta}{\partial t^2} - c^2 \left( \frac{\partial^2 \eta}{\partial x^2} + \frac{\partial^2 \eta}{\partial y^2} \right) = g \left( \frac{\partial h}{\partial x} \frac{\partial \eta}{\partial x} + \frac{\partial h}{\partial y} \frac{\partial \eta}{\partial y} \right)$$

Сведем последнее уравнение к волновому уравнению. С этой целью произведем замену  $\eta = \eta' \exp \Phi(x, y)$ , где  $\Phi$  и ее производные первого и второго порядка являются довольно гладкими функциями, причем  $\Phi$  подлежит определению. Подстановка такой замены в уравнение дает

$$\begin{aligned} \frac{\partial^2 \eta'}{\partial t^2} - c^2 \left( \frac{\partial^2 \eta'}{\partial x^2} + \frac{\partial^2 \eta'}{\partial y^2} \right) - g \left[ \left( 2h \frac{\partial \Phi}{\partial x} + \frac{\partial h}{\partial x} \right) \frac{\partial \eta'}{\partial x} + \left( 2h \frac{\partial \Phi}{\partial y} + \frac{\partial h}{\partial y} \right) \frac{\partial \eta'}{\partial y} \right] = \\ = g \left[ h \left( \frac{\partial^2 \Phi}{\partial x^2} + \frac{\partial^2 \Phi}{\partial y^2} \right) + \frac{\partial \Phi}{\partial x} \frac{\partial h}{\partial x} + \frac{\partial \Phi}{\partial y} \frac{\partial h}{\partial y} \right] \eta' \end{aligned}$$

Физически очевидно, что вблизи фронта волны

$$\left| \frac{\partial \eta'}{\partial t} \right|, \quad \left| \frac{\partial \eta'}{\partial x} \right|, \quad \left| \frac{\partial \eta'}{\partial y} \right| \gg \eta'$$

Следовательно, в последнем уравнении слагаемыми типа  $\eta' h \times (\partial^2 \Phi / \partial x^2 + \partial^2 \Phi / \partial y^2)$  и того же порядка по сравнению с  $\partial^2 \eta' / \partial t^2$ ,  $\partial^2 \eta' / \partial x^2$ ,  $\partial^2 \eta' / \partial y^2$  можно пренебречь. Тогда уравнение, которое получа-

ется из последнего после отбрасывания из него слагаемых отмеченного порядка, чтобы стало волновым уравнением, необходимо полагать:

$$2h \frac{\partial \Phi}{\partial x} + \frac{\partial h}{\partial x} = 0 \quad \text{и} \quad 2h \frac{\partial \Phi}{\partial y} + \frac{\partial h}{\partial y} = 0 \quad (1.7)$$

Таким образом, функция  $\eta' = \sqrt{h\eta}$  в окрестности фронтов волн удовлетворяет волновому уравнению.

**Семейство лучей. Начальные условия.** С целью нахождения решения задачи в любой момент  $t > 0$  в окрестности касания точки дифракционной волны с распространяющейся волной и математической записи начальных условий проведем следующее построение.

Физически имеются два семейства поля лучей, которые характеризуются как экстремали интеграла Ферма:

а) дифракционные лучи, исходящие из края экрана, являющиеся источником излучения вторичных возмущений (согласно принципу Гюйгенса-Френеля), за счет которых образуется слабо смачиваемая зона, расположенная за барьером (Огибание волной препятствия - дифракция в узком смысле);

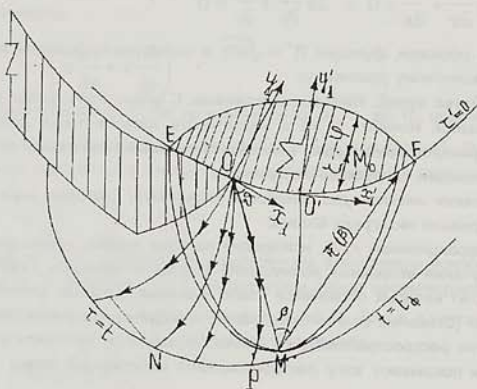
б) лучи распространяющейся волны, которые не являются центральными лучами и покрывают зону распространения набегающей волны после столкновения с волнорезом.

Чтобы описать эти два семейства лучей, введем две системы криволинейных координат:  $\tau, \theta$  - для первого семейства и  $\tau', s$  - для второго семейства. Координата

$$\tau = \tau(0, N) = \min \left( \delta \int_0^N d\sigma / c(x, y) \right)$$

характеризует время пробега возмущений от кромки препятствия до текущей точки возмущенной области вдоль дифракционных лучей, то есть определяет положение точки на луче. Совершенно ясно, что фронт дифракционной волны в любой момент  $t$  характеризуется уравнением  $\tau = t$ . Координата  $\vartheta$  описывает дифракционные лучи, то есть  $\vartheta = \text{const}$  вдоль луча и отсчитывается от фиксированного направления. Координата  $\tau'$  имеет тот же смысл, что и  $\tau$ , но уже для падающей на волнорез и распространяющейся волны, а координата  $s$  отсчитывается от края экрана вдоль начального фронта волны и фиксирует лучи распространяющейся волны, которые не центральны. Кроме них, введем координатную систему  $x_1 Oy_1$ , причем ось  $Ox_1$  направим по касательной к фронту  $\tau' = 0$ , а  $Oy_1$  - перпендикулярно к ней (фиг.1). Далее введем расстояния  $\zeta$  и  $\phi$ , отсчитываемые, соответственно, от текущей точки  $M_0$ , расположенной за фронтом волны  $\tau' = 0$  до нее, и от той же точки до квазисферы (полулунок), являющейся обращением фронта дифракционной волны (принцип взаимности

[18]). (В случае однородной среды фронт дифракционной волны является сферой).



Фиг. 1

Геометрическая картина дифракции на остром крае в плане

После таких построений и обозначений, начальные условия представим в форме приближенных условий Кирхгофа [4], то есть

$$\eta'|_{t=0} = \begin{cases} A \zeta^\alpha x_1^\gamma, & \frac{\partial \eta'}{\partial \zeta}|_{t=0} = \begin{cases} \alpha A c_0 \zeta^{\alpha-1} x_1^\gamma & \text{при } \zeta \geq 0 \\ 0 & \text{при } \zeta < 0 \end{cases} & \text{и } x_1 \geq 0 \\ 0 & \text{или } x_1 < 0 \end{cases} \quad (1.8)$$

где  $\alpha, \gamma$  характеризуют гладкость решения поперек и вдоль волны и могут быть любыми вещественными числами, причем  $\alpha \geq -\frac{1}{2}$ ,  $\alpha + \gamma \geq -\frac{3}{2}$ , а  $A = A_1 c_0^\alpha = \text{const}$ ,  $A_1$  характеризует интенсивность набегающей волны, а  $c_0$  - скорость волны в точке  $O$ , ( $c(O) = c_0$ ). (Объяснения физического смысла допущений, вложенные в приближенных условиях Кирхгофа, приведены в [2], с.248).

**2. Решение задачи.** Как уже было сказано, решение полученной задачи Коши по [12, 13] в любой момент  $t > 0$ , в любой точке  $M$  возмущенной области выражается через начальные условия и фундаментальное (элементарное) решение волнового уравнения (вернее, сопряженного к нему), найденное Адамаром, которое было конкретизировано (с точки зрения практического приложения) Бабичем [17]. Чтобы в произвольной точке  $M$  пространства  $t, x, y$ , лежащей правее луча  $OP$ , записать решение, необходимо построить обращенный характеристический коноид с вершиной в точке  $M$  и образующими, составленными из бихарактеристик волнового уравнения, и

найти его пересечение с плоскостью  $t=0$  (фиг 1). (Вершина конуса является особой точкой решения линейной задачи). Область интегрирования обозначим через  $\Sigma$ . Она состоит из квазикружности  $\phi=0$  (которая совпадает с обращенной дифракционной волной по принципу взаимности) и части начального положения фронта падающей волны  $\zeta=0$  ( $t'=0$ ). Тогда ис-  
комое решение задачи Коши (которое Адамар получил, используя формулу Грина) запишется в форме:

$$\eta'(M) = \frac{1}{2\pi} \iint_{\Sigma} \frac{1}{c^2(M_0)} \left[ \eta'|_{t=0} \frac{\partial \eta'_\Phi}{\partial t} + \eta'_\Phi \frac{\partial \eta'}{\partial t}|_{t=0} \right] dM_0 \quad (2.1)$$

где  $\eta'_\Phi$  - фундаментальное решение сопряженного уравнения к волновому ([13], с. 170, 178). Причем рассматривается конечная часть интеграла.

При этом, согласно теории Кирхгофа, следует интегрировать по освещенной части начальной волны, то есть полагать  $x_1 \geq 0$  [2]. Для пояснения сути этого подхода обозначим через  $x_n$  и  $\xi_n$ , соответственно, точки пересечения фронта квазикружности с начальной волной и экраном, причем  $x_n > 0$ ,  $\xi_n < 0$ . Область интегрирования состоит из участков  $(\xi_n, 0)$  и  $(0, x_n)$ . Когда  $t=\tau$ , то есть точка  $M$  находится на точечной волне, квазикружность EF проходит через край О экрана и  $\xi_n=0$  (фиг. 1). Естественно считать, что при малых  $t-\tau$  точка пересечения квазикружности с экраном  $x_1 = \xi_n \approx c_0(t-\tau)$ . В то же время, как показано далее

$$x_n = s \pm \sqrt{s^2 + \frac{2c_0(t-\tau)}{K_1 - K_2}}$$

( $s$  - расстояние от края экрана,  $K_1$  и  $K_2$  - кривизны, соответственно, начальной волны и квазикружности) и для порядков можно получить:

$s^2 = c_0(t-\tau)$ ,  $x_n \sim \sqrt{c_0(t-\tau)}$ . Отсюда следует, что  $\xi_n \ll x_n$  и при интегрировании в (2.1) частью области  $x_1 < 0$  следует пренебречь. Более строгое обоснование выбора  $x_1 > 0$  для области  $\Sigma$  проведено для модельной задачи определения давления и скоростей жидкости в окрестности точки касания дифракционной и падающей волн, где получено решение граничной задачи в виде интегралов по  $x_1$  в пределах  $(\xi_n, 0), (0, x_n)$  [18], причем

$$\xi_n = -V \left( t - \frac{1}{C_0} \right) \sqrt{(x - \xi_n)^2 + y^2}, \quad x_n = V \left( t - \frac{1}{C_0} \right) \sqrt{(x - x_n)^2 + y^2}$$

где ось  $Ox$  выбрана по поверхности жидкости, а ось  $Oy$  - по нормали к ней (в глубь жидкости), а  $V > c_0$  - скорость фронта давления на поверхности.

В рассматриваемом случае  $\tau = r/c_0$ ,  $r = \sqrt{x^2 + y^2}$ . Из выражений  $\xi_n$  и  $x_n$  можно получить

$$\xi_n = -\frac{V(t-\tau)}{1+\frac{Vx}{c_0r}}, \quad x_n = V \frac{\frac{xV}{C_0^2} - t + \sqrt{\left(t - \frac{xV}{C_0^2}\right)^2 + \left(\frac{V^2}{C_0^2} - 1\right)(t^2 - \tau^2)}}{\frac{V^2}{C_0^2} - 1}$$

Отсюда следует, что  $\xi_n = t - \tau$ ,  $x_n = \sqrt{t - \tau}$  и областью  $(\xi_n, 0)$  при интегрировании можно пренебречь.

Конечно, приведенная задача отличается от рассматриваемой задачи, но с точки зрения структуры решения, обе задачи эквивалентны. Таким образом, исходя из некоторых эвристических и более строгих соображений, показано, что при определении решения рассматриваемой задачи в окрестности касания волн следует интегралом по рассеивателю пренебречь, как малой более высокого порядка.

Для линейных уравнений (с постоянными или переменными коэффициентами) гиперболического типа с  $m$  независимым переменным элементарное решение, приведенное в [12, 13], при  $m = 2m_1 + 1$  имеет вид:  $v = \bar{V}/\Gamma^{m_1 - \frac{1}{2}}$ , где  $\Gamma$  - квадрат геодезического расстояния ( $\Gamma = 0$  описывает характеристический коноид), а  $\bar{V}$  - голоморфная функция координат двух точек. В рассматриваемом случае  $m = 3$ , следовательно,  $m_1 = 1$  и  $v = \bar{V}/\sqrt{\Gamma}$ . В общем случае (для произвольных точек)  $\Gamma$  является решением дифференциального уравнения первого порядка с частными производными:  $B(\partial\Gamma/\partial x_i, x_i) = 4\Gamma$ , где  $B = \sum b_{ik} \gamma_i \gamma_k$  - характеристическая форма линейного дифференциального уравнения второго порядка с коэффициентами  $b_{ik}$  при старших производных. Если точки, между которыми измеряется геодезическое расстояние, бесконечно близки, то есть имеют координаты  $x = (x_1, x_2, \dots, x_m)$ ,  $x + dx = (x_1 + dx_1, \dots, x_m + dx_m)$ , то формула для  $\Gamma$  упрощается и имеет вид [17]:  $\sqrt{\Gamma} = \sqrt{(t - t_0)^2 + \tau^2}$ , но опять остается неизвестным (хотя бы для уравнений с переменными коэффициентами) вид функции  $\bar{V}$ . Тогда, выражение элементарного решения для дифференциальных уравнений в частных производных второго порядка с переменными коэффициентами при старших производных, для практических приложений непригодно. Целесообразно его взаимствовать из той же работы [17], которое в окрестности фронтов (дифракционной или распространяющейся) волн с использованием принципа взаимности можно записать в форме

$$\eta'_\phi = \sqrt{\frac{c(M_0)}{2|r'_\beta(M_0)|}} \frac{1}{\sqrt{t - \tau}} + \dots \quad (2.2)$$

где ... обозначены менее сингулярные слагаемые,  $r'$  - радиус-вектор  $\overrightarrow{MM_0}$ ,  $\beta = \text{const}$  характеризует бихарактеристики, то есть  $\beta$  есть угол составленной касательной к лучу в точке  $M$  с фиксированным направлением,  $\bar{\tau}$  - время пробега от точки  $M_0$  до точки  $M$  (или наоборот) вдоль проекции бихарактеристики на плоскость  $\tau' = 0$  (фиг. 1).

Уместно отметить, что отличие методики нахождения решения изучаемой задачи от методики, изложенной в [17], состоит в расширении нестационарного одномерного решения по лучу на двумерную область.

До постановки фундаментального решения в (2.1) предварительно выражим в нем время пробега  $t - \bar{\tau}$  от точки  $M$  до квазикружности через  $\phi$ , то есть  $t - \bar{\tau} = \phi / c(M_0)$ .

После такой замены постановка элементарного решения (2.2) и начальных данных (1.8) в решении (2.1), с учетом, что  $y_1$  от  $\zeta$  отличается на величину второго порядка малости (размеры области интегрирования малы), дает

$$\begin{aligned} \eta'(M) = & \frac{A}{2\sqrt{2}\pi} \frac{1}{\sqrt{|r'_\beta(M_0)|}} \times \\ & \times \iint \zeta^{\alpha-1} x_1^\gamma \left[ \frac{\zeta}{c(M_0)} \frac{\partial}{\partial t} \frac{1}{\sqrt{\phi}} + \frac{1}{\sqrt{\phi}} \right] \partial\zeta \partial x_1 \end{aligned} \quad (2.3)$$

$c(M_0) = c(0) = c_0$ ,  $|r'_\beta(M_0)| = |r'_\beta(0)| = |r'_{\beta 0}|$  вследствие их достаточно слабой изменяемости в области  $\Sigma$ . С целью сохранения, по мере возможности, точности решения замена  $c(M_0)$  и  $r'_\beta(M_0)$  на  $c_0$  и  $r'_{\beta 0}$  не произведена.

С целью вычисления интеграла разложим в окрестности точки  $O'$  величину  $\phi + \zeta$  в ряд Тейлора. Точка  $O'$  является точкой пересечения бихарактеристики, исходящей из точки  $M$ , где ищется решение с начальным фронтом волны, причем эта бихарактеристика является и лучом волны. Обозначим через  $x'_1, y'_1$  координаты точки  $M_0$  относительно новой декартовой системы координат с началом в  $O'$  и осью абсцисс касательной к кривой  $\zeta = 0$  в этой точке. Тогда

$$\begin{aligned} (\phi + \zeta)_{(x'_1, y'_1)} = & (\phi + \zeta)|_{O'} + \frac{\partial(\phi + \zeta)}{\partial x'_1} \Big|_{O'} x'_1 + \frac{\partial(\phi + \zeta)}{\partial y'_1} \Big|_{O'} y'_1 + \\ & + \frac{\partial^2(\phi + \zeta)}{\partial x'^2} \Big|_{O'} x'^2_1 + \frac{\partial^2(\phi + \zeta)}{\partial y'^2} \Big|_{O'} y'^2_1 + \dots \end{aligned}$$

где точками обозначены слагаемые третьего и более высокого порядка малости.

С точностью величин второго порядка малости получим

$$(\varphi + \zeta)_{(o')} \equiv 0, \frac{\partial(\varphi + \zeta)}{\partial x'_1} \Big|_{o'} \equiv 0, \frac{\partial(\varphi + \zeta)}{\partial y'_1} \Big|_{o'} \equiv 1, \frac{\partial^2(\varphi + \zeta)}{\partial x'^2_1} \Big|_{o'} = \\ = -K_1 + K_2 \quad y'_1 = c(M_0)\tau''$$

где  $\tau''$  - время пробега от квазикружности до начальной волны, равное времени пробега от дифракционной волны до фронта распространяющейся волны  $t = t_\Phi$  вдоль бихартистики, то есть оно равно  $t - t_\Phi$ ;  $K_1 = -\partial^2\varphi/\partial x'^2_1$  - кривизна квазикружности,  $K_2 = \partial^2\zeta/\partial x'^2_1$  - кривизна фронта начальной волны, причем кривизна считается положительной, если вогнутость кривой находится с той стороны, куда распространяется волна. Следует отметить, что  $t_\Phi$  - тот момент времени, когда фронт распространяющейся волны находится в точке  $M(t_\Phi, x, y)$ .

Таким образом,

$$\varphi + \zeta \equiv c(M_0)(t - t_\Phi) - \frac{1}{2}(K_1 - K_2)(x_1 - s^2) \quad (2.4)$$

причем в работе рассматривается случай  $K_1 - K_2 > 0$ . Подставляя выражение  $\varphi$  из (2.4) в (2.3) и произведя с первым слагаемым интегрирование по частям, с учетом, что  $\partial\varphi/\partial t = c(M_0)\partial\varphi/\partial\zeta$ , получим

$$\eta(M) = \frac{\alpha A}{\sqrt{2\pi}} \frac{1}{\sqrt{|r'_\beta(M_0)|}} \iint_{\substack{\zeta \geq 0 \\ x_1 \geq 0}} \frac{\zeta^{\alpha-1} x_1^\gamma d\zeta dx_1}{\sqrt{c(M_0)(t - t_\Phi) - \frac{1}{2}(K_1 - K_2)(x_1 - s)^2 - \zeta}} \quad (2.5)$$

**3. Вычисление интеграла (2.5).** При вычислении интеграла (2.5) необходимо учесть следующих два возможных случая:

- а) точка  $M(t, x, y)$ , расположенная вблизи предельного дифракционного луча, лежит за фронтом дифракционной волны  $t > \tau$ ;
- б) точка  $M(t, x, y)$  лежит между фронтами дифракционной и распространяющейся волны,  $t < \tau$ .

Отметим, что в обоих случаях  $t > t_\Phi$ , что физически очевидно.

Пределы интегрирования по  $x_1$  будут: абсциссы точек пересечения обращенного фронта дифракционной волны и начального фронта распространяющейся волны, определяющие из совместного решения уравнений  $\varphi = 0$  и  $\zeta = 0$ . Тогда, как следует из (2.4), искомые значения  $x_1$  являются корнями квадратного уравнения

$$c(M_0)(t-t_\Phi) - \frac{1}{2}(K_1 - K_2)(x_1 - s)^2 = 0 \quad (3.1)$$

$$\left( x_{\Pi,2} = s \pm \sqrt{2 \frac{c(M_0)(t-t_\Phi)}{K_1 - K_2}} \right)$$

Но из известного соотношения  $c_0(t-t_\Phi) - \frac{1}{2}(K_1 - K_2)s^2 = c_0(t-\tau)$  следует, что в случае а)  $x_{\Pi 2} < 0$ , а в случае б)  $x_{\Pi 2} > 0$ . Согласно постановке задачи, рассматривается та часть области интегрирования, которая расположена правее кромки препятствия. Следовательно, в случае а) пределы интегрирования по направлению  $x_1$  будут: 0,  $x_{\Pi 1}$ , а в случае б)  $x_{\Pi 2}, x_{\Pi 1}$ .

В случае а), который рассмотрим сначала, двойной интеграл, представляя в форме повторного интеграла, решения (2.5) можно переписать в следующей форме:

$$\eta'(M) = \frac{A\alpha}{\sqrt{2\pi}} \frac{1}{\sqrt{|r'_\beta(M_0)|}} \int_0^{x_{\Pi 1}} x_1^\gamma dx_1 \int_0^{\phi=0} \frac{\zeta^{\alpha-1} d\zeta}{\sqrt{c(M_0)(t-t_\Phi) - \frac{1}{2}(K_1 - K_2)(x_1 - s)^2 - \zeta}}$$

Произведем замену переменного  $\zeta = \psi \left[ c_0(t-t_\Phi) - \frac{1}{2}(K_1 - K_2)(x_1 - s)^2 \right]$ .

При  $\phi = 0$ ,  $\zeta = c(M_0)(t-t_\Phi) - \frac{1}{2}(K_1 - K_2)(x_1 - s)^2$  и  $\psi = 1$ . Следова-

тельно,

$$\begin{aligned} & \int_0^{\phi=0} \left[ c(M_0)(t-t_\Phi) - \frac{1}{2}(K_1 - K_2)(x_1 - s)^2 - \zeta \right]^{-\frac{1}{2}} \zeta^{\alpha-1} d\zeta = \\ & = \left[ c(M_0)(t-t_\Phi) - \frac{1}{2}(K_1 - K_2)(x_1 - s)^2 \right]^{\alpha - \frac{1}{2}} \int_0^1 (1-\psi)^{-\frac{1}{2}} \psi^{\alpha-1} d\psi = \\ & = \left[ c(M_0)(t-t_\Phi) - \frac{1}{2}(K_1 - K_2)(x_1 - s)^2 \right]^{\alpha - \frac{1}{2}} B\left(\alpha, \frac{1}{2}\right) \end{aligned}$$

[19], ФП, 774(1), с.339).

Значит

$$\eta' = \frac{A\alpha}{\sqrt{2\pi}} \frac{1}{\sqrt{|r'_\beta(M_0)|}} \int_0^{x_{\Pi 1}} \left[ c(M_0)(t-t_\Phi) - \frac{1}{2}(K_1 - K_2)(x_1 - s)^2 \right]^{\alpha - \frac{1}{2}} x_1^\gamma dx_1$$

Введем вместо  $x_1$  новую переменную  $\xi$  по формуле

$$x_1 = s + \sqrt{\frac{2c_0(t - t_\Phi)}{K_1 - K_2}} \xi.$$

Тогда

$$\eta'(M) = \frac{A}{\pi} \frac{\Gamma(1+\alpha)\Gamma\left(\frac{1}{2}\right)}{\Gamma\left(\alpha + \frac{1}{2}\right)} \frac{[c(M_0)]^\alpha}{\sqrt{|r'_\beta(M_0)|}} \frac{(t - t_\Phi)^\alpha}{\sqrt{K_1 - K_2}} \int_{\xi_0}^1 (1 - \xi^2)^{\alpha - \frac{1}{2}} \times \\ \times \left[ s + \sqrt{\frac{2c(M_0)(t - t_\Phi)}{K_1 - K_2}} \xi \right]^\gamma d\xi$$

где  $\xi_0$  определяется из равенства

$$\xi_0 \sqrt{\frac{2c(M_0)(t - t_\Phi)}{K_1 - K_2}} + s = 0 \quad (3.2)$$

С целью вычисления последнего интеграла произведем новую замену переменного:  $1 - \xi = (1 - \xi_0)p$ . Тогда

$$1 - \xi^2 = 2(1 - \xi_0)(1 - qp)p, \quad q = \frac{1 - \xi_0}{2}$$

$$s + \sqrt{\frac{2c(M_0)(t - t_\Phi)}{K_1 - K_2}} \xi = \sqrt{\frac{2c(M_0)(t - t_\Phi)}{K_1 - K_2}} (\xi - \xi_0),$$

$$\xi - \xi_0 = (1 - \xi_0)(1 - p)$$

при  $\xi = 1$   $p = 0$ , а при  $\xi = \xi_0$   $p = 1$ ,  $d\xi = -(1 - \xi_0)dp$ .

Таким образом,

$$\eta' = 2^{\frac{\alpha+\gamma}{2}} \frac{A}{\sqrt{2\pi}} \frac{\Gamma(1+\alpha)}{\Gamma\left(\alpha + \frac{1}{2}\right)} \frac{[c(M_0)]^{\alpha+\frac{\gamma}{2}}}{\sqrt{|r'_\beta(M_0)|}} \frac{(t - t_\Phi)^{\alpha+\frac{\gamma}{2}}}{(K_1 - K_2)^{\frac{1+\gamma}{2}}} (1 - \xi_0)^{\alpha+\gamma-\frac{1}{2}} \times \\ \times \int_0^1 p^{\frac{\alpha-1}{2}} (1 - p)^\gamma (1 - qp)^{\frac{\alpha-1}{2}} dp$$

Интеграл, входящий в правую часть последнего равенства, представляет из себя табличный интеграл и выражается через бета- и гипергеометрическую функции ([19] см.фр.: 7.211, с.416 и [20] 1531, с.373). Окончательно исходное решение в рассматриваемом случае запишется в форме:

$$\eta'(t, x, y) = 2^{\frac{\alpha+\gamma}{2}} \frac{A}{\sqrt{2\pi}} \frac{\Gamma(1+\alpha)\Gamma(1+\gamma)}{\Gamma\left(\alpha+\gamma+\frac{3}{2}\right)} \frac{\left[c(M_0)(t-t_\Phi)\right]^{\alpha+\frac{\gamma}{2}}}{\sqrt{|r'_\beta(M_0)|(K_1-K_2)^{1+\gamma}}} (1-\xi_0)^{\alpha+\frac{\gamma+1}{2}} \times$$

$$\times F\left(\frac{1}{2}-\alpha, \frac{1}{2}+\alpha, \gamma+\alpha+\frac{3}{2}, \frac{1-\xi_0}{2}\right) \text{ при } t > \tau$$

В частном случае скачкообразной начальной волны  $\alpha = \gamma = 0$  и из

$$\Gamma\left(n+\frac{1}{2}\right) = \frac{\sqrt{\pi}}{2^n} (2n-1)!! , \quad F\left(\frac{1}{2}, \frac{1}{2}, \frac{3}{2}, z^2\right) = \frac{\arcsin z}{z}$$

([19], фр.: 7.221.26, с. 417 и [20] 151.6, с. 370) следует, что

$$\eta'(t, x, y) = \frac{2A}{\pi} \frac{1}{\sqrt{(K_1-K_2)|r'_\beta(M_0)|}} \arcsin \sqrt{\frac{1-\xi_0}{2}}$$

Но  $2 \arcsin \sqrt{\frac{1-\xi_0}{2}} = \arcsin \sqrt{1-\xi_0^2}$  и первую часть последнего равенства, с использованием тождества  $\arcsin x = \operatorname{arctg}\left(\frac{x}{\sqrt{1-x^2}}\right)$  можно пред-

ставить в форме:

$$\eta'(t, x, y) = \frac{A}{\pi} \frac{1}{\sqrt{|r'_\beta(M_0)|(K_1-K_2)}} \operatorname{arctg} \frac{\sqrt{1-\xi_0^2}}{\xi_0}$$

Но из выражения (3.2) и соотношения  $s = -(\vartheta - \vartheta_0)(K_1 - K_2)$  следует, что

$$1-\xi_0^2 = \frac{t-\tau}{t-t_\Phi}, \quad \xi_0 = -\sqrt{\frac{\tau-t_\Phi}{t-t_\Phi}}, \quad \text{а } \sqrt{\tau-t_\Phi} = -\frac{\vartheta-\vartheta_0}{2c(M_0)(K_1-K_2)}$$

и, следовательно,

$$\eta'(t, x, y) = \frac{A}{\pi} \frac{1}{\sqrt{|r'_\beta(M_0)|(K_1-K_2)}} \operatorname{arctg} \frac{\sqrt{2c(M_0)(t-\tau)(K_1-K_2)}}{\vartheta-\vartheta_0} \quad (3.4)$$

В случае б), опять представляя двойной интеграл (2.5) в форме повторного интеграла с использованием уже вышепроделанной замены переменных, вычислений и выражения пределов интегрирования (3.1), можно показать, что

$$\eta'(M) = \frac{A}{\sqrt{\pi}} \frac{c_{M_0}^\alpha}{\sqrt{|r'_\beta|_{M_0}}} \frac{\Gamma(\alpha+1)}{\Gamma\left(\alpha+\frac{1}{2}\right)} \frac{(t-t_\Phi)^\alpha}{\sqrt{K_1-K_2}} \int_{-1}^1 (1-\xi^2) \left[ s + \frac{\sqrt{2c(M_0)(t-t_\Phi)}}{K_1-K_2} \xi \right]^\tau d\xi$$

Но согласно (3.2) и с учетом, что

$$1-\xi = 2p', \quad 1-\xi^2 = 4p(1+p'), \quad \xi - \xi_0 = (1-\xi_0) \left( 1 - \frac{2}{1-\xi_0} p' \right),$$

$$s + \sqrt{\frac{2c(M_0)(t-t_\Phi)}{K_1-K_2}} \xi = \sqrt{\frac{2c(M_0)(t-t_\Phi)}{K_1-K_2}} (\xi - \xi_0),$$

искомое решение запишется в форме:

$$\eta'(t, x, y) = 2^{2\alpha+\gamma} \frac{Ac_{M_0}^{\alpha+\frac{\gamma}{2}}}{\sqrt{\pi}} \frac{\Gamma(\alpha+1)\Gamma(\alpha+1/2)}{\Gamma(2\alpha+1)} \frac{(t-t_\Phi)^{\alpha+\frac{\gamma}{2}}(1-\xi_0)^\gamma}{\sqrt{|r_\beta|_{M_0}} (K_1-K_2)^{\gamma+1}} \times$$

$$\times F\left(-\gamma, \alpha + \frac{1}{2}, 2\alpha + 1, \frac{2}{1-\xi_0}\right)$$

Используя известное соотношение для гипергеометрических и гамма-функций:

$$F\left(-\gamma, \alpha + \frac{1}{2}, 2\alpha + 1, x\right) = \left(1 - \frac{x}{2}\right)^\gamma F\left(-\frac{\gamma}{2}, \frac{1-\gamma}{2}, 1+\alpha, y\right)$$

$$\Gamma(2z) = \frac{1}{\sqrt{\pi}} 2^z \Gamma(z) \Gamma\left(z + \frac{1}{2}\right) \quad \text{где} \quad y = \left[\frac{x}{2-x}\right]^2$$

с учетом, что в рассматриваемом случае  $x = \frac{2}{1-\xi_0}$ ,  $z = \frac{1}{2} + \alpha$ . Искомое решение окончательно запишется в форме:

$$\eta'(t, x, y) = 2^{\alpha+\frac{\gamma}{2}-1} Ac_{M_0}^{\alpha+\frac{\gamma}{2}} \frac{(t-t_\Phi)^{\alpha+\frac{\gamma}{2}}(-\xi_0)^\gamma}{\sqrt{|r_\beta'(M_0)|} (K_1-K_2)^{\gamma+1}} F\left(-\frac{\gamma}{2}, \frac{1-\gamma}{2}, 1+\alpha, \frac{1}{\xi_0^2}\right) \quad (3.5)$$

В случае, когда точка М лежит левее предельного дифракционного луча ОР, решение задачи получается соответственно из (3.3) и (3.5) аналитическим продолжением в эту область.

В частном случае  $\gamma = 0$  из (3.5) получается решение одномерной по лучу нестационарной задачи Коши (распространение волны в безграничной покоящейся неоднородной среде), приведенное в [17]. (Различие между ними состоит в разнице постоянных множителей, которая является последствием различия этих же постоянных, фигурирующих в начальных данных ([17], с. 242).)

**4. Решение стационарной задачи дифракции.** Пусть последовательность поверхностных гравитационных волн скачкообразного профиля и малой амплитуды, генерируемых на покоящейся поверхности моря или океана разными источниками, набегает на тонкий полубесконечный жесткий волно-

рез с заостренным концом. Задача состоит в нахождении амплитуды и фазы колебаний частиц в возмущенной области, расположенной за барьером. С этой целью применимо к найденному решению (3.4) преобразование Лапласа по времени. Тогда

$$U = u_1 + iu_2 = \frac{A}{\pi} \left[ |r'_\beta(M_0)| (K_1 - K_2) \right]^{-\frac{1}{2}} \int_{-\infty}^{\infty} \arctg a \sqrt{t-\tau} e^{-\sigma t} dt$$

где  $a = \sqrt{2c(M_0)(K_1 - K_2)} / (\vartheta - \vartheta_0)$ ,  $\sigma$  - комплексная величина, причем  $\operatorname{Re}(\sigma^2) > 0$ . Произведя интегрирование по частям (интегрированная часть равна нулю) и замену переменного  $\sqrt{t-\tau} = T$  в полученном интеграле, можно показать, что

$$U = \frac{A}{\pi} \left[ |r'_\beta(M_0)| (K_1 - K_2) \right]^{-\frac{1}{2}} \frac{a}{\sigma} e^{-\sigma \tau} \int_0^{\infty} \frac{e^{-\sigma T^2} dt}{1 + a^2 T}$$

Но последний интеграл является табличным интегралом ([19] ст. 169, ф. 3.274) и выражается через функцию вероятностей, то есть

$$U = \frac{A}{2} \left[ |r'_\beta(M_0)| (K_1 - K_2) \right]^{-\frac{1}{2}} \frac{e^{-\sigma \tau}}{\sigma} e^{\frac{\sigma(\vartheta - \vartheta_0)^2}{2c(M_0)(K_1 - K_2)}} \times \\ \times \left[ 1 - \Phi \left( \sqrt{\sigma} \frac{\vartheta - \vartheta_0}{\sqrt{2c(M_0)(K_1 - K_2)}} \right) \right] \quad (4.1)$$

Чтобы полученному решению стационарной задачи дифракции, происходящей от края экрана, придать больше наглядности и привычности, выразим функцию вероятностей через функции Френеля. С этой целью в качестве  $\sigma$  возьмем чисто мнимую величину, то есть  $\sigma = -i\sigma_2$  (которое удовлетворяет условию  $\operatorname{Re}\sigma^2 > 0$ ) и с учетом, что  $\sqrt{-i} = \exp(-i\pi/4)$ , произведем в интеграле вероятностей замену переменного  $t = \exp(-i\pi/4)x$ , где  $x$  - действительная величина. Тогда  $e^{-t^2} = \cos x^2 - i \sin x^2$  и, следовательно,

$$\Phi \left( \frac{\sqrt{\sigma}}{a} \right) = \left[ C \left( \frac{\sqrt{\sigma_2}}{a} \right) - S \left( \frac{\sqrt{\sigma_2}}{a} \right) \right] - i \left[ C \left( \frac{\sqrt{\sigma_2}}{a} \right) + S \left( \frac{\sqrt{\sigma_2}}{a} \right) \right]$$

где  $C$  и  $S$  - интегралы Френеля. Таким образом, из (4.1) и последней формулы следует, что

$$U = u_1 + i u_2 = \frac{A}{2\sigma_2} \left[ |r'_\beta(M_0)| (K_1 - K_2) \right]^{-1/2} e^{-i\sigma_2 t} e^{\frac{(\phi - \phi_0)^2}{2c(M_0)(K_1 - K_2)} \sigma_2} \times \\ \times \left\{ \left[ C(\sqrt{\sigma_2}/a) + S(\sqrt{\sigma_2}/a) \right] - i \left[ 1 - C(\sqrt{\sigma_2}/a) + S(\sqrt{\sigma_2}/a) \right] \right\} \quad (4.2)$$

Благодарим В.М.Бабича за ценные замечания, которые авторы, по возможности, учли в статье.

### Л и т е р а т у р а

1. Цыдипов Ч.Ц. Распространение ультракоротких радиоволн. - Новосибирск: Наука, Сибирское отделение, 1977, 202 с.
2. Виноградов М.Б., Руденко О.В., Сухоруков А.П. Теория волн. - М.: Наука, 1979, 381 с.
3. Ле Блон П., Лайсек Л. Волны в океанах. Часть I. - М.: Мир, 1981, 478 с.
4. Багдоев А.Г., Безиргян Г.С. О дифракции интенсивной световой волны в неоднородной, кубически-нелинейной среде. - Докл. АН Арм. ССР, 1984, т. 29, №1, с. 29-34.
5. Стокер Дж.Дж. Волны на воде. - М.: ИЛ, 1959, 617 с.
6. Петрашень Г.И. и др. О методе рядов в теории дифракции волн от плоских угловых областей. - Л.: Уч. записки ЛГУ, 1958, т. 6, № 246, с. 5 - 70.
7. Селезнев И.Т. Моделирование волновых и дифракционных процессов в сплошных средах. - Киев: Наукова Думка, 1989, 203 с.
8. Фок В.Л. Проблемы дифракции и распространения электромагнитных волн. - М.: Сов. радио, 1970, 517 с.
9. Леонович М.Л., Фок В.А. Решение задачи о распространении электромагнитных волн вдоль поверхности Земли по методу параболического уравнения. - ЖЭТФ, 1946, 16, №17, с. 557 - 573.
10. Бабич В.М., Кирпичникова Н.Я. Метод пограничного слоя в задачах дифракции. - Л.: ЛГУ 1974, 124 с.
11. Бабич В.М., Булдырев В.С. Асимптотические методы в задачах дифракции коротких волн. - М.: Наука, 1972, 456 с.
12. Hadamard J. Commentarii Mathematici Helvetici - Paris, 1933, vol. 5, p. 137 - 173.
13. Адамар Ж. Задача Коши для линейных уравнений с частными производными гиперболического типа. - М.: Наука, 1978, 352 с.
14. Багдоев А.Г. Исследование окрестности волны вблизи особой линии. - Изв. АН Арм. ССР, 1971, т. 24, № 1, с. 16-37.
15. Васильев Е.П. и др. Численные методы в теории дифракции. - В сб.: Теория дифракции и распространения волн. Тр. VI Всесоюзного симпозиума по дифракции волн. Цахкадзор, 1973, с. 7-15.
16. Кочин Н.Е., Кибель И.А., Розе Н.В. Теоретическая гидромеханика, часть I. - М.: 1963.

17. Бабич В.М. Распространение нестационарных волн и каустики. - Уч. записки ЛГУ. Динамические задачи теории упругости. ЛГУ, 1958, VI, № 246, вып. 32, с. 228-259.
18. Багдоев А.Г. Определение параметров движения жидкости в окрестности встречи фронтов волн.- Изв.АН Арм.ССР, Механика, 1969, т.22, N5, с.45-64.
19. Рыжик И.М., Градштейн И.С. Таблицы интегралов, сумм, рядов и произведений. - М.-Л.: Гостехтеориздат, 1951, 463 с.
20. Справочник по специальным функциям. - М.: Наука, 1979, 830 с.

Институт механики НАН Армении

Поступила в редакцию

3.10.1991